

# 遠賀川流域の特殊地盤について

九地建 遠賀川工事事務所 深堀 政喜

## 1. まえがき

筑豊平野を貫流する遠賀川は、以前から石炭採掘による鉛害沈下の激しい河川として知られてきた。ところが、流域の下流部には、ソーラ層と呼ばれる軟弱な腐蝕植物織維層が分布し、鉛害とともに農地等に被害をもたらしてきていたが、北海道の泥炭や有明海沿岸のちゅう積粘土に較べ層厚が薄く、軟弱な基礎地盤として注目されるに至らなかった。

しかし、最近になって、この地盤上に施工した盛土が、しばしば沈下や滑りを起し、ソーラに対する調査・研究も必要なものとなってきた。本報告は、ソーラ層の基礎地盤としての性質を知るために、飯塚市、直方市、鞍手郡の三地点より不搅乱試料を採取し、その土質試験の結果を示すものである。

## 2. 流域下流部の土層の状況とソーラ層の分布

### 流域の中央部にあたる飯塚市附近

市附近では、古第三紀層が浅く、比較的安定した地盤だと見えるが、遠賀川に沿って下流へ深くなり、直方市で10~15m、中間市で15~25m程度の砂質シルト

層または粘土層があり、特に左岸の鞍手郡では軟弱層が30mにおよぶ地域がある。図-1は、過去のボーリング結果によりソーラ層の分布を想定したものであるが、まだ調査の中途の段階で、正確にその分布範囲を掴むには、ボーリング資料の蒐集を続けると共に、広範な調査ボーリングを必要とする。

ソーラの層厚は同じ地域でも一定ではなく、レンズ状に存在しているものと考えられ、層厚が20mにおよんでいる地点もある。

### 2-1. ボーリング地点の土層の状況とコーンペネトロメーターによる調査

図-2~4にボーリング結果とコーンペネトロメーターによるコーン先端支持力を示す。

各地点共ソーラ層はわりと薄いが、野口地点では、ソーラ層の上下層も軟弱な粘土層で腐蝕構造がかなり混入している。また猪倉地点では、かなり複雑な堆積過程を示していて、洪積粘土上に海成のちゅう積粘土が、その上に河成の砂質シルト、ソーラが、更にその上にマサの埋立がなされている。また

図-1 ソーラ層の分布とサンプリングの位置



図-2 鶴田地盤

深度	圖表	土質名	コーン支持力 $\eta_c$ $\text{kg/cm}^2$					
			1	2	3	4	5	6
1		粘土	1					
2	vvv	ソーラ						
3	v	粘土	2					
4	v	ソーラ						
5	vvv		3					
6	v							

ここで気付くのは、ソーラとその下層の砂質シルトとの境界が明確なことである。普通、ソーラ層は、鰐田や野口のそれのように、植物根糸を含む軟弱な粘土層に挟まれるか交差の形で存在する。従って、ソーラ層自体は薄層でも軟弱層としては厚く、不良な基礎地盤であることが多い。

ソーラ層中のコーン支持力をみてみると、バラツキが大きいが、鰐田での $\phi_c$ は、単管式コンペネを用いたため、深部になるとロッドの周辺摩耗が大きくなり、相当過大に出ているようである。二重管式使用の必要があった。野口、猪倉両地盤では二重管式を用いたのであるが、猪倉のソーラ層中 $\phi_c = 1.6 \sim 3.25 \text{ kN/cm}^2$  も多少過大に出ているように思える。水位以下のゆるい細砂、シルトにおいては、二重管間隙に微粒子が入り込み、内管と外管との摩耗が大となるため、 $\phi_c$ は、過大に出る傾向がある。本地盤においても表層のシルト混砂層を貫入する際に微粒子が管間隙に入り込んだものと思われる。従って、ソーラ層における $\phi_c$ は、信頼度が薄く、2.7m 以深の砂質シルト層では更に信頼度が落ちる。

野口地盤の $\phi_c = 0.8 \sim 1.8 \text{ kN/cm}^2$  は、上層が粘土層であるから信頼出来る。

### 3. ソーラの物理的な性質

物理試験の結果を表-1に示す。鰐田ではNo.3、野口ではNo.5.6、猪倉ではNo.7がソーラ層中の試料で、その他は纖維質が混入した土である。(No.9は、纖維の混入が全くない)

自然含水比、単位体積重量、間隙比など一般土に較べ異状な値を示しているが、なかでも野口の間隙比 $e$ は、9.0~11.0で、有明のちゅう積粘土 $e_{max}=3.5$ 程度であることを考えると、いかに大きいかが分る。

強熱減量は、纖維質のおよその量を示すものであるが、この纖維質の量と、含水比、比重の関連性が認められる。また、液性限界、塑性限界は、纖維のかみ合いでため実施不能の試料があり、こ

図-3 野口地盤

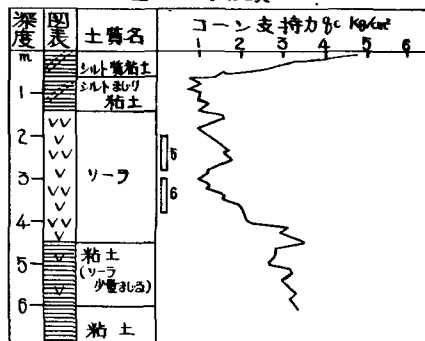


図-4 猪倉地盤

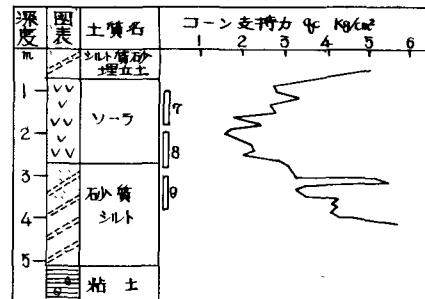


表-1 物理試験結果一覧

試料 採取地 No.	試料採取 深度 m	自然 含水比 $w_{pl}$	単位体 積重量 $G/cm^3$	比重 $\gamma$	間隙比 $e$	液性限 界 $w_L$ %	強熱 減量 %
鰐 田	1 0.80~2.00	89.3	1.400	2.511	2.40	94.5	26.3
	2 2.85~3.85	305.0	1.166	2.314	7.04	100.0	36.1
	3 4.40~5.80	336.0	1.167	1.936	6.22	104.6	26.1
	4 6.25~	79.9	1.488	2.056	2.19	96.9	11.7
野 口	5 2.00~2.80	449.0	1.053	1.96	9.23	95.2	60.2
	6 3.00~3.80	444.3	1.037	1.96	9.33	93.8	65.7
猪 倉	7 1.00~1.80	205.6	1.140	1.92	3.83	93.0	28.5
	8 2.00~2.80	88.4	1.257	2.36	2.55	82.2	40.7
	9 3.00~3.80	69.2	1.633	2.61	1.71	105.8	26.7
							9.4

に掲げはかつたが、大体の傾向として、纖維の量が増す程、液性限界、塑性指数は大きくなるようである。これは纖維が流動現象を生じ難くしていふと考えられ、試験値を普通土のそれと同じ様に扱つてよいかどうか疑問である。

#### 4. ソーラの力学的性質

試験結果を表-2に示す。ソーラは、北海道の泥炭より纖維の腐蝕が進んでおり、指先でこねると、容易に糊状となる程度で、一軸、三軸の供試体作成時、ワイヤーソーに引かゝるほど強い纖維はなかつた。以下、各試験結果について述べる。

##### 4-1. 一軸圧縮試験

破壊時の供試体の形は、滑り面は現われず、ひび割れも生ぜず全層の状態を呈する。このような場合  $C = \frac{q_u}{P}$  としてよいか否か疑問であるが、内部にはせん断面が生じているものと考えられる（（極限応力  $\sigma_u$  が明らかに表わされる） $\sigma_u$  を粘着力とみてよいのではないか）。 $\frac{q_u}{P}$  の値を各地点あるいは深度毎にみると、物理試験では大差ないのに、かなりの差を示すものがあるが、これは、纖維自体にも強度差があるためではないかとも思える。

##### 4-2. 三軸圧縮試験

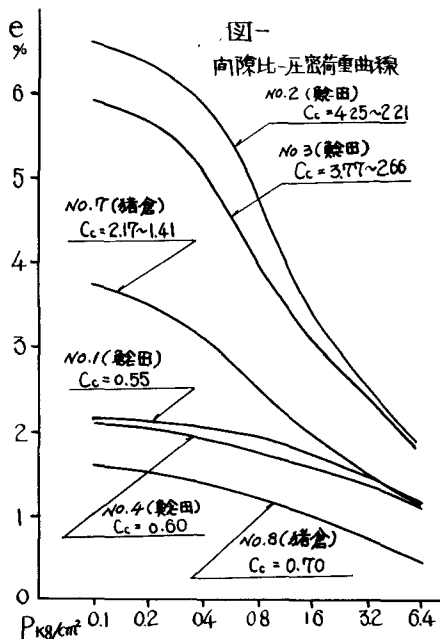
一軸によるもの求め方に疑問があることは三軸についても言えるが、非排水試験の結果は表に示すとおり、一軸の  $C$  とかなりの差がある。これは、纖維の偏在によるものではないかと思われる。

##### 4-3. 圧密試験 間隙比 $e$ が非常に大きいといふこと自体が大きい圧縮性を物語るものであるが、試験の結果、最も間隙比の大きい野口のソーラでは、 $C_c = 5 \sim 6$ という大きな値を示している。圧縮指数 $C_c$ は自然間隙比 $e_0$ と近乎直線的な関係を示すが、内田氏は、飯塚地区のソーラについて、 $$C_c = 0.42(e - 0.30)$$ と報告している。 圧密係数 $G_r$ は、圧密荷重によって、非常に差があり、圧密荷重が大きくなるほど急激に小さくなる。例えば野口の No.5(20m~28m)の試料で $$G_r = 3.31 \times 10^{-2} \sim 8.71 \times 10^{-5}$$ $$\text{但し } P = 0.05 \text{ kg/cm}^2 \sim 4.8 \text{ kg/cm}^2$$ 当初の間隙比が大きいだけに圧密による減少率も大 表-2 力学試験結果 | 採取地 | No. | 三軸圧縮 | | 間隙比<br>$e_0$ | 充填荷重<br>$P_0$ kg/cm <sup>2</sup> | 圧密指數<br>$C_c$ | |--------|-----|----------------------------------|----------------------------------|------------------|----------------------------------|---------------| | | | 抗圧強度<br>$q_u$ kg/cm <sup>2</sup> | 最大荷重<br>$C_u$ kg/cm <sup>2</sup> | | | | | 鰺 | 1 | | | | 1.96 | 0.84 | | | 2 | 0.254 | | | 6.08 | 0.37 | | | 3 | 0.368 | | | 5.45 | 0.32 | | | 4 | 0.488 | | | 1.92 | 0.36 | | 野 | 5 | 0.222 | 0.18<br>0.20 | 9 (Q)<br>7 (Q) | 13.09 | 0.31 | | | 6 | 0.382 | 0.21<br>0.23 | 11 (Q)<br>8 (Q) | 9.20 | 0.28 | | 猪<br>倉 | 7 | 0.216 | 0.12<br>0.08 | 13 (Q)<br>14 (Q) | 3.91 | 0.32 | | | 8 | 0.218 | 0.17 | 7 (Q) | 1.68 | 0.44 | | | 9 | 0.238 | 0.18 | 17 (Q) | 1.59 | 0.57 | | Pressure (kg/cm <sup>2</sup> ) | Void Ratio (e) - No. 5 (Nohara) | Void Ratio (e) - No. 6 (Nohara) | |--------------------------------|---------------------------------|---------------------------------| | 0.1 | 12.0 | 8.5 | | 0.2 | 10.0 | 7.5 | | 0.4 | 6.5 | 5.5 | | 0.6 | 5.0 | 4.5 | | 0.8 | 4.0 | 3.8 | | 1.0 | 3.5 | 3.5 | | 1.2 | 3.0 | 3.0 | | 1.4 | 2.8 | 2.8 | | 1.6 | 2.6 | 2.6 | | 1.8 | 2.4 | 2.4 | | 2.0 | 2.2 | 2.2 | 4-42-3

きく、 $C_c$ の急激な減少がみられるのであろう。すなはち、盛土荷重が大きくなるほど、圧密の進行は緩やかになる。

#### 4-4. 圧密と粘着の関係

圧密-非排水せん断試験( $Q_c$ )を実施したが、圧密の進行に伴なう粘着力の増加はあまりない。粘土の粘着力の増加は、圧密による間隙水の脱水のため、各々接近することにより発生するといわれているが、固体粒子を持たないソーラ層では、このことはあてはまらないのではないかと考えられる。また図-5、6に示すように同程度の纖維質を持つ土が、間隙比および圧縮性を異にしている。これは、その土の締りの程度を表わし、一般土であれば当然、粘着力との関連を示すのであるが、ソーラ層の場合、締りの違いによる粘着力の増加は殆んど見い出せない。



#### 5. 基礎地盤としてのソーラ層

ソーラ層の基礎地盤としての特性は大体、次のようにある。

1. 圧密沈下が非常に大きい。有明粘土の2~3倍に達する。
2. 圧密時間は、載荷重が大きくなる程急激に長くなり、荷重10t/m²以上にはまとまる。
3. 圧密による粘着力の増加は殆んどない。
4. 振動や撓乱による流動化の傾向は乏しい。

これらのことから、盛土施工の対策として次のようことが考えられる。

- A. 沈下対策特に注意する。余盛の量も大きくなる。
- B. 浅く薄いソーラの部分は除去してしまう。
- C. サントドレーン、ペーパートレーンは、圧密促進に役立つても、粘着力の増加は期待出来ない。
- D. 盛土荷重による円弧滑りを防ぐには、1. 押えをする。 2. 法勾配を非常にゆるくする。
3. コンポーナーのよさは、それ自体が強度を持つ材料で地盤改良を行なう

あとがき

以上の試験結果は、ソーラ層のほんの一部に過ぎない。従って、ここで出した結論は、今後、多くの地域の多くの試料に対して試験を行ない、修正あるいは補足すべきものである。

また、遠賀川の流域に分布するこの軟弱な地盤が、今後の道路・河川等の工事にどの程度影響を与えるものか、どの範囲におよぶのか詳しい調査の必要があると思う。